

하이브리드 인버터 설계 및 특성해석에 관한 연구

오진석* · 김윤식** · 노창주***

A Study on the Design and the Analysis of Hybrid Inverter

J. S. Oh · Y. S. Kim · C. J. Nor

Key words : Hybrid inverter(하이브리드 인버터) Harmonic elimination(조파제거) Time delay(시간지연) Optical transmission system(광전송시스템)

Abstract

PWM (Pluse Width Modulation) induction motor drives are being used in greater numbers through a wide variety of industrial and commercial applications.

In this paper, a new speed control algorithm (hybrid algorithm) for induction motor drives that uses regular sampled PWM and harmonic elimination PWM is presented.

The hybrid algorithm is implemented on the computer to obtain solutions from the calculation equations of the width of the pulses and the firing angles for the selected harmonic elimination.

This paper describes the time delay effects and the suitable compensating methods moreover, optical transmission system for driving signals is proposed and is compared with general transmission system.

The hybrid inverter was tested with induction motor, and these test results are shown that this hybrid inverter closely approximates and exhibits many of the desirable performance characteristics of hybrid strategies based on digitalized the switching strategies, minimized the total harmonic distortions and eliminated the objectionable harmonics.

Finally, detailed experimental investigation of the proposed hybrid scheme is presented.

1. 서 론

PWM 인버터는 스위칭 기법에 따라 분류되며,

그 종에서 RSPWM(Regular Sampled PWM) 인버터는 온도변화에 따른 영향이 적고, 잡음 및 회로 정수의 영향을 적게 받으며, 프로그램화된 스위

* 정회원, 양산전문대학

** 정회원, 한국해양대학교

*** 정회원, 한국해양대학교

칭 알고리즘을 이용하여 점호각(firing angles)을 결정하는 방법으로 샘플링 위치 및 샘플링 값을 정확히 예측할 수 있다. HEPWM(Harmonic Elimination PWM) 인버터는 수치해석법을 이용해 구한 점호각으로 조파왜곡을 최소화하는 스위칭 기법이다.

본 연구에서는 산업용은 물론이고, EV(Electric Vehicle) 및 Rov(Remotely Operated Vehicle) 등의 운용구간에서 진동 및 소음을 야기하는 특정한 고조파를 제거할 수 있고, 펄스폭 계산과 발생을 온라인(on-line) 상태로 수행이 용이한 인버터를 구현한다. 이를 위해 정격주파수 이하에서는 RSPWM 인버터로 동작하고, 그 이상에서는 HEPWM 인버터로 동작하는 하이브리드 인버터에 관한 연구를 수행하고, 여기에 적합한 인버터 제어알고리즘을 제안한다.

그리고 스위칭 소자의 단락 방지를 위해 설정하는 TD(Time Delay)에 의한 출력성분의 조파왜곡을 방지하기 위해 TD 보상회로를 설계하여 이용하였다.

RSPWM 인버터와 HE 인버터간의 전압차를 줄이기 위하여 CV(Conversion) 모드를 삽입하였다. 그리고, 구동신호의 전송과정에서 유입되는 전자파 영향을 최소화하기 위해 광 전송시스템을 이용

하였다.

2. 하이브리드 알고리즘

2.1 RSPWM 알고리즘

RSPWM 대칭변조의 과정을 도시한 Fig. 1에서 T_1 순간에 샘플링 되는 기준 변조파 ①의 진폭이 T_4 까지 지속된다. $T_1 \sim T_4$ 구간에서 샘플링 변조파 ②와 반송파 ③이 비교되어 스위칭 시간 T_2 및 T_3 가 결정되고, PWM파 ④는

$$t_{pw} = \frac{T}{2} \{1 + M \sin(\omega_s t)\} \quad (1)$$

이다. 여기서 t_{pw} 는 펄스폭, T 는 반송파 주기, M 은 변조지수(modulation index), ω_s 는 변조파 주파수, t 는 순간시간이다.

본연구에서 구축한 RSPWM 알고리즘은 QWS(Quarter Wave Symmetry) 특성을 갖춘 것으로, $\frac{1}{4}$ cycle 구간에서 $\omega_s t$ 의 범위는 $0 \leq \omega_s t \leq \frac{\pi}{2}$ 이고 대칭성을 확보하기 위해 $0, \frac{\pi}{2}, \dots, \frac{\pi}{2}$ 에서는 샘플링하지 않는다. 샘플링 시작점을 π/R , 종점을 $(\pi/2 - \pi/R)$ 로 하면 샘플링 횟수 $n (= 0.1 \dots (R-1)/4)$ 의 범위는 주파수비 R 에 의해 결정된다. 식(1)을 위의 조건을

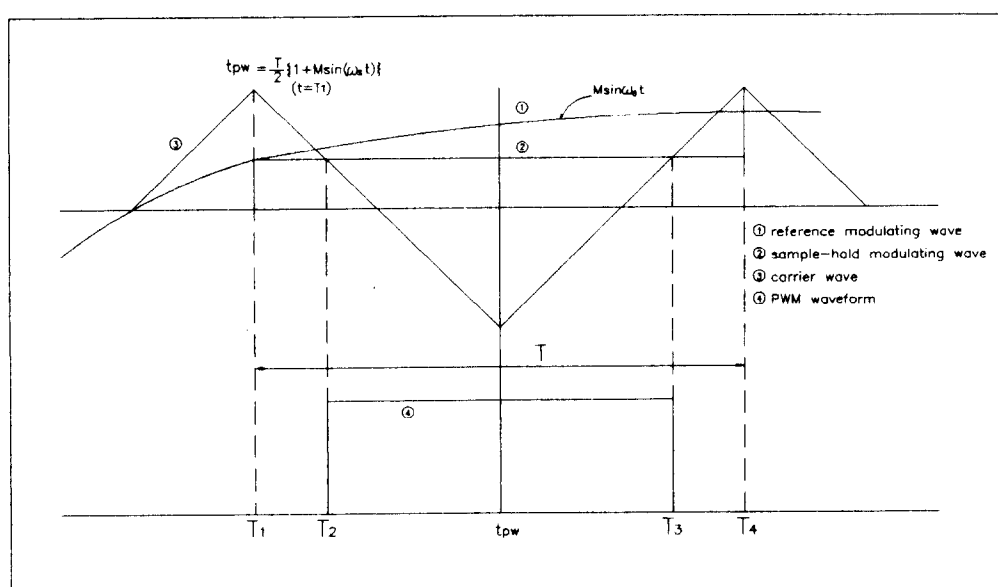


Fig. 1 Symmetric modulation waveform of RSPWM

만족하는 디지털화가 용이한 식으로 정리하면

$$t_{pw} = \frac{T}{2} \left[1 + M \sin \frac{(1+2n)\pi}{R} \right] \quad (2)$$

이 되고, 이 식을 이용하여 RSPWM 알고리즘을 도출한다.

2.2 HE 알고리즘

고조파는 토크에 영향을 주고 진동과 청각소음(acoustic noise)을 야기한다. 고조파 성분과 전동기의 기계적인 주파수가 공진을 일으키지 않도록 특정한 고조파를 제거하는 것이 HE 알고리즘이다. Fig. 2는 HE 인버터의 출력파형을 도시한 것이고, 이 파형을 Fourier 급수로 전개하면

$$f(\omega t) = \sum_{n=1}^{\infty} [a_n \sin(n\omega t) + b_n \cos(n\omega t)] \quad (3)$$

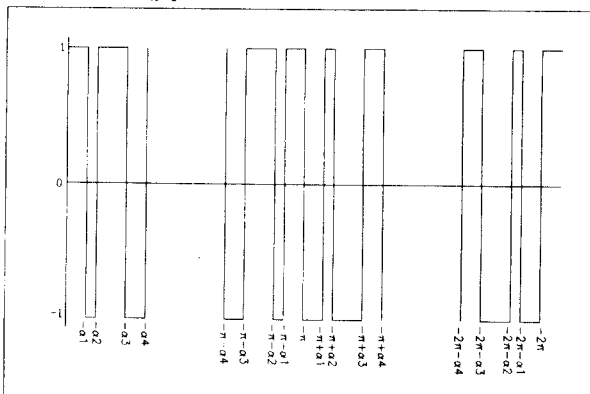


Fig. 2 Generalized output waveform of HE inverter

RSPWM 인버터의 출력파형처럼, Fig. 2의 파형도 QWS(Quarter Wave Symmetry) 특성을 갖는다.

즉, $f(\omega t) = f(\pi - \omega t)$ 이고 n 이 기수이면 식(3)의 계수 a_n 및 b_n 은

$$a_n = \frac{4}{n\pi} \left[1 + 2 \sum_{k=1}^{N/2} (-1)^k \cos n\alpha_k \right], b_n = 0 \quad (4)$$

이고, $k (= 1, 2, \dots, N)$ 은 1/4 cycle 동안의 스위칭 횟수이고 $\alpha_1, \alpha_2, \dots, \alpha_N$ 은 점호각이다. 이 점호각은 인버터의 출력성분 중에서 α_1 은 최대로, 반면에 $\alpha_n (n=5, 7, 9)$ 은 최소가 되도록 식(4)의 비선형방정식을 수치해석적인 방법을 이용하여 도출한 각도이다. N개의 자유도 중에서 α_1 의 진폭제어에 한 개의 자유도가 이용되면, 나머지 $(N-1)$ 개의 자유도는 고조파 억제에 이용할 수 있다.

Fig. 3은 점호각에 따른 펄스폭을 도시한 것으로 (a)는 스위칭 횟수 $k (= 1, 2, \dots, N)$ 가 1인 경우

$$t_{pwi} = T \left(\sin \frac{\pi}{2} - \sin \alpha_k \right) \quad (5)$$

이고, (b)는 k 가 2인 경우

$$t_{pwi} = T \sin \alpha_1 \quad (6)$$

$$t_{pw2} = T \left(\sin \frac{\pi}{2} - \sin \alpha_k \right) \quad (7)$$

이고, (c)는 k 가 3인 경우

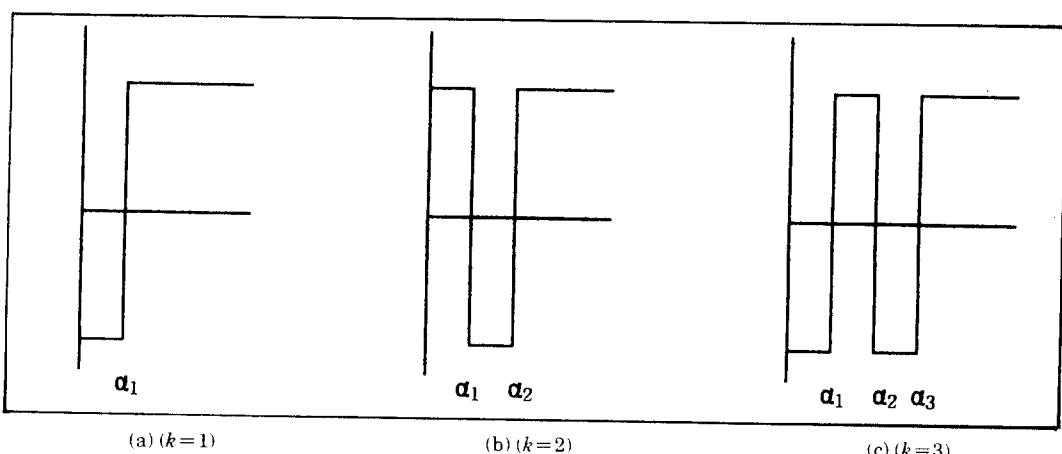


Fig. 3 Firing angles and waveforms for eliminating harmonics

$$t_{pw1} = T(\sin\alpha_{k-(k-2)} - \sin\alpha_{k-(k-1)}) \quad (8)$$

$$t_{pw2} = T(\sin\frac{\pi}{2} - \sin\alpha_k) \quad (9)$$

의 펄스폭 t_{pw} 를 산출하는 식이다. 이때 T는 점호각과 스위칭비에 의해 결정되는 주기이고, α 는 점호각이다.

2.3 하이브리드 알고리즘

하이브리드 알고리즘은 QWS 특성을 이용하여 세 가지 모드의 알고리즘을 구현하였다.

RSPWM 모드 및 CV 모드에서는 주파수비에 비례하는 점호각을 갖고, HE 모드에서는 제거하려는 고조파 갯수에 비례하는 점호각을 갖는다.

변조파 주파수 f_s 는 유도전동기 속도를 결정하고 변조지수 M은 고정자 전압을 결정한다. 저주파 구간에서 유도전동기를 운전하면, 유도전동기의 누설리액턴스 감소로 인한 전류리플 성분이 증가한다. 이로 인한 고조파 성분의 증가를 방지하기 위하여 주파수비를 조정(증가)한다. 이 구간에서는 주파수비의 조정이 자유로운 RSPWM 모드를 이용한다.

그리고 HE모드는 제거하고자 하는 고조파 성분의 갯수에 비례하여, 비선형 방정식의 해석오차 및 점호각의 디지털화에 따른 오차가 증가하여 원하는 출력특성을 얻기가 어렵다. 일반적으로 유도전

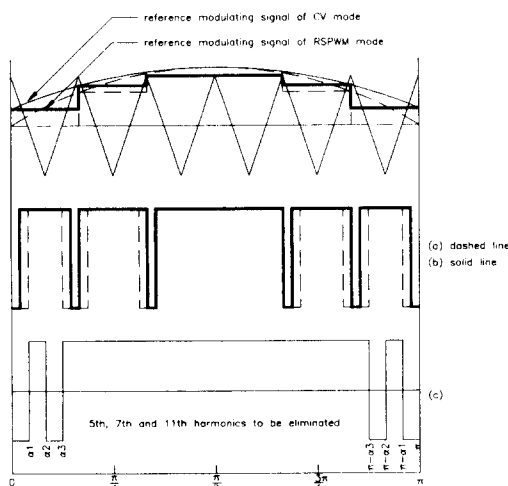


Fig. 4 PWM waveforms of RSPWM mode(a), CV mode(b) and HE mode(c)

동기의 사용빈도가 높은 $55 \leq f_s$ 구간에 HE모드를 적용하여, 특정한 진동 및 소음을 억제할 수 있도록 하였다. f_s 가 $0 \leq f_s \leq 50$ 이면 RSPWM 모드, $51 \leq f_s \leq 54$ 이면 CV모드, $55 \leq f_s$ 이면 HE모드로 운전한다.

$$t_{pw} = \frac{T}{2} + \frac{K}{2R} \sin(\omega_s t) \quad (10)$$

CV 모드는 RSPWM 모드와 HE 모드간의 전압격차를 줄이기 위해 삽입한 것이며, 주파수비는 12로 하였다.

Fig. 4는 모드별 PWM 파형을 도시한 것으로, CV 모드가 두 모드간의 전압격차를 줄이는 중간 모드임을 나타내고 있다. 본 논문에서는 RSPWM 알고리즘의 주파수비와 HE 알고리즘의 스위칭비가 동일한 운영개념을 갖도록 각각의 주기 최대값을 252로 하고, 이를 근거로 기본파(변조파)주기 T_s , 주파수비(스위칭비 : P)R 및 시스템 주파수 S_c 의 관계를

$$T_s = 252 \times \frac{R(\text{or } P)}{S_c} \quad (11)$$

로 정립한다. 이상의 과정을 통하여 정립한 하이브리드 알고리즘을 이용하여 인버터를 구축하고, 인버터 특성실험을 원활히 수행하기 위하여 연산처리, 모드설정 및 입출력이 자유로운 C언어를 이용하여 제어프로그램을 작성하여 실험을 수행하였다.

3. TD 보상회로

직류측에 직렬로 연결된 스위칭 소자의 단락을

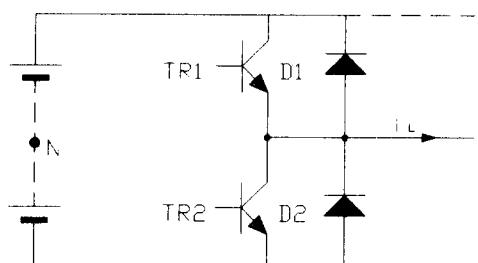


Fig. 5 One phase circuit of inverter

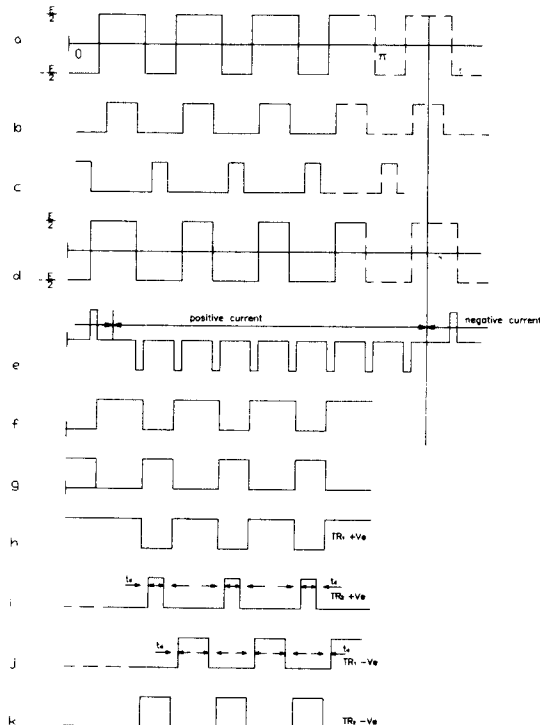


Fig. 6 Effect of TD on the inverter waveforms

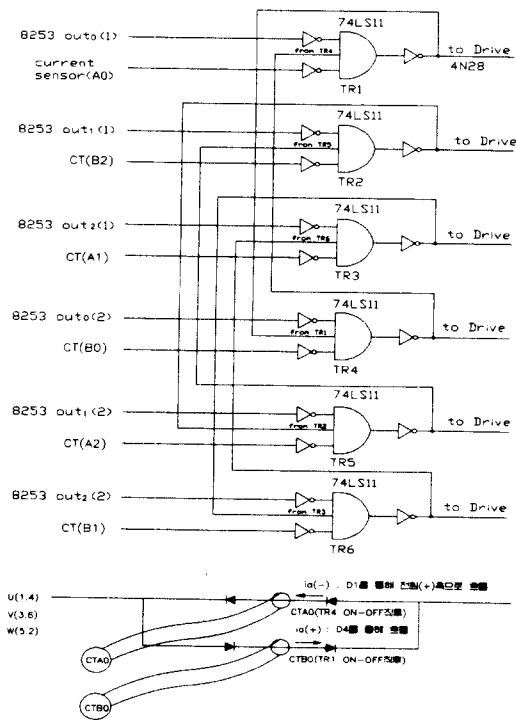


Fig. 7 TD Compensation circuit

방지하기 위해 설정하는 TD(Time Delay)는 인버터의 출력에 고조파 성분을 포함시킨다.

Fig. 5는 인버터의 한상을 보여주고 있다. 여기서 부하전류(i_L)는 반사이클 동안은 양(+)이고, 반사이클 동안은 음(-)이다.

Fig. 6은 TD의 영향을 반영한 출력파형이다. a 는 이상적인 출력파형, b, c 는 스위칭 소자 제어신호, d 는 실제적인 출력파형, e 는 $d - a$ 의 차전압이다. 이 차전압 V_e 는 직류공급전압 E , 스위칭 주기 T_s 및 시간지연 t_d 와 충전시간 t_s 의 차 $t_e (= t_d - t_s)$ 로 나타낼 수 있다.

$$V_e = E \cdot \frac{t_e}{T_s} \quad (12)$$

TD를 보상하지 않는 경우의 THD(Total Harmonic Distortion)는 t_d/T_s 에 의해 증가한다. TD를 보상한다는 것은 t_d/T_s 에 영향을 받지 않고 TD에 의해 발생하는 고조파를 억제하는 것이다.

본 연구에서 구성한 TD 보상회로는 전류가 양(부하측으로 흐름)이면 TR_1 의 트리거 타이밍을 이상적인 파형의 전압천이와 일치시키고, 음이면 TR_2 의 트리거 타이밍을 이상적인 전압천이와 일치시킨다.

f, g 는 TD가 영인 경우이고, h, i 는 부하전류가 양, j, k 는 부하전류가 음인 경우 출력 전압의 천이를 이상적으로 하기 위한 스위칭 신호이다.

Fig. 6은 TD를 보상하는 TD 보상회로도이며, 여기에 이용한 전류센서는 0.01~0.21[A]까지는 선형성을 가지며 그 이상에서는 포화된다.

4. 광 전송시스템

주 전력회로에서 유도되는 이상전압 및 EMI(Electromagnetic Interference)같은 전자파 간섭과 구동신호의 전송과정에서 유입되는 잡음의 영향을 최소화하기 위하여 광 전송시스템을 이용한다. 본 연구에서 구축한 광 전송시스템은 케이블 길이가 짧고, 광량이 충분히 확보되므로 S/N(Signal-to-Noise) 비를 고려하지 않았다. 그리고, LOS(Loss of Signal) 같은 입력신호의 유무를 감시하는 회로도 부가하지 않았다.

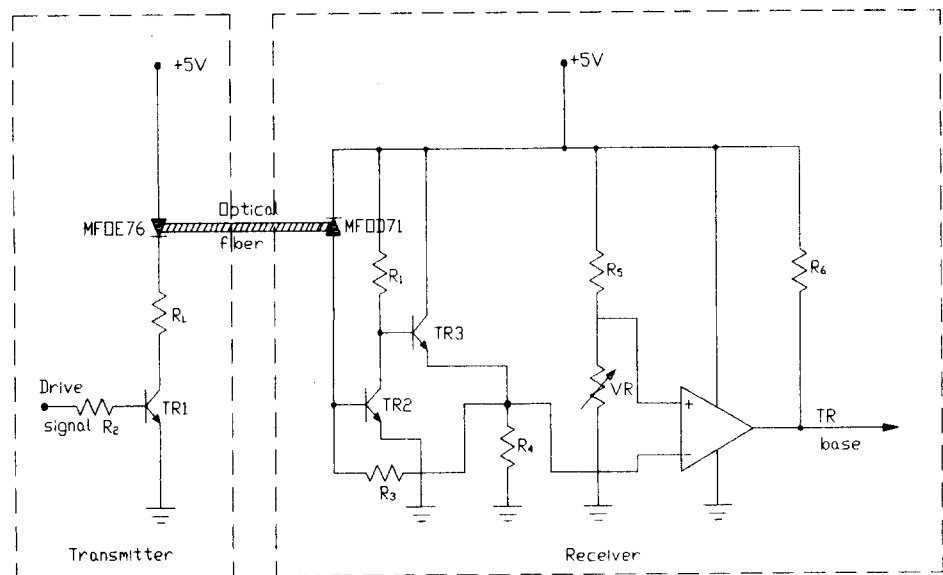


Fig. 8 Transmitter and receiver circuits of Optical transmission system

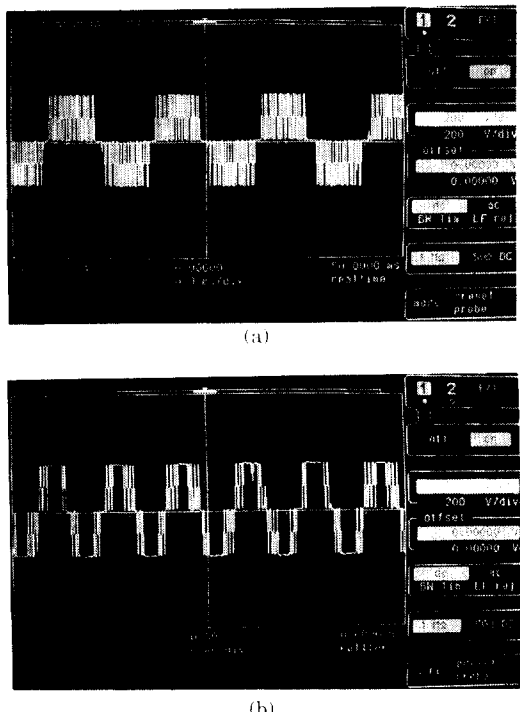


Fig. 9 Output line voltage waveforms of the inverter. (a)CV mode (b)HE mode

Fig. 8는 광 전송시스템으로, 여기서 트랜스미터는 전기신호를 광출력으로, 리시버는 광신호를 전기신호로 바꾸는 것이다.

5. 실험 결과 및 고찰

유도전동기(220V, 1656RPM, 1HP)로 실험하는 과정에서 스위칭 소자의 충전시간(storage time) 및 서너버에 의한 시간지연은 구동회로의 시간지연과 균사치가 유사하다고 보고 고려하지 않았다.

Fig. 9은 CV 모드로 운전할 경우 (a)와 HE 모드에서 구한 접호각을 출력파형 검증실험으로 수정한 접호각으로 5차 및 7차 고조파를 제거하는 경우 (b)의 선간진압 파형이고, Fig. 10은 Fig. 9와 동일한 조건으로 촬영한 전류성분에 대한 주파수 스펙트럼 분석파형이다.

수치해석법으로 구한 접호각을 수정없이 이용하면 고조파가 효과적으로 제거되지 않는다. 그러므로 실험을 통하여 디지털화가 용이한 수정 접호각을 구하여 이용해야 한다. 실험결과 Fig. 10에 나타난 것처럼 고조파가 완전히 억제되지 못하였다. 우수한 고조파 억제능력을 갖추기 위해서는 체계적인 검증실험 방법이 정립되어야 할 것이다.

Fig. 11은 TD 보상회로의 보상능력을 실험한 결과로서 약간의 전류왜곡을 포함하고 있다. 이 왜곡성분은 전류센서의 특성과 단수의 영향 및 회로정수를 보상하지 않은 결과로 사료된다. 광 전송시스템의 전송특성 실험은 예상한 대로 잡음 및 EMI

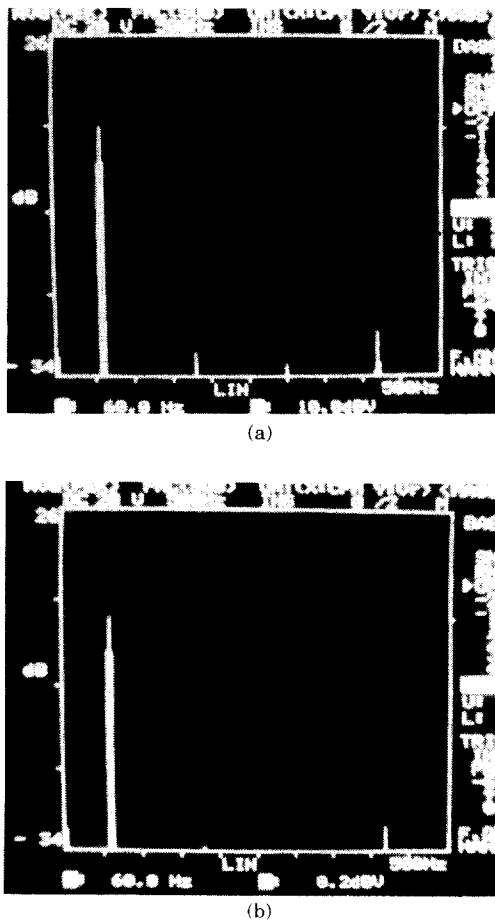


Fig. 10 The motor line current spectrum at 60Hz
(a)CV mode (b)HE mode

에 대한 내성이 우수하였다.

Fig. 12은 일반 전송시스템(위)과 광 전송시스템(아래)의 구동신호 전송상태를 촬영한 것으로, 일반 전송시스템에 많은 잡음이 실린 것을 알 수 있다. 실제 실험과정에서도 일반 전송시스템을 이용한 경우 구동회로의 전자부품 손상이 자주 발생한 반면, 광 전송시스템은 거의 발생하지 않았다.

6. 결 론

본 논문에서 제시한 하이브리드 인버터는 고조파 제거가 가능하고, 주파수비(스위칭비)에 따라 누설리액턴스가 변화되며, 그 결과 고조파 성분에 대한 적절한 임피던스로 작용하게 하였다. 전 구간

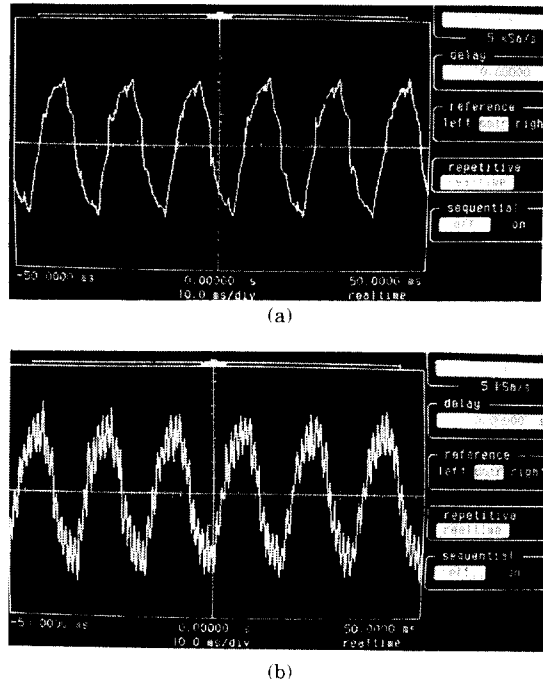


Fig. 11 Inverter output current waveforms with TD circuit(a) and without TD circuit(b)

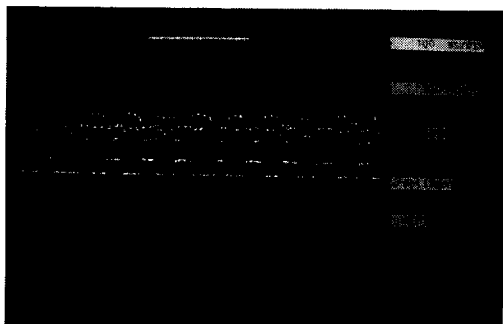


Fig. 12 Drive signal waveforms of general[upper] and optical[lower] transmission system

에 걸쳐 전압격차에 의한 운전상태 불안정을 최소화 하기 위해 CV 운전모드를 삽입하였으며, TD 보상회로를 이용하여 조파왜곡 개선을 통한 전력변환율을 향상시켰으며, EV 및 ROV 같은 전자파 간섭이 집중되는 곳의 새로운 구동신호 전송매체로 광 전송시스템을 제시하였다. 이러한 실험과정을 통하여 다음과 같은 결론을 얻었다.

1. QWS 및 HWS 특성을 이용하여 펄스폭 결정 용 값을 도출함으로서 디지털화가 용이하도록 하

였으며, 도출한 점호각을 검증실험으로 수정하여 이용함으로써 이산화 및 회로정수 산정과정에서 발생되는 오차에 대한 신뢰성을 갖도록 하였다.

2. TD 보상회로를 이용하여 시간지연의 영향을 보상하는 실험을 수행한 결과, 보상효과는 전류센서의 특성에 지배를 받았고, 우수한 보상능력을 확보하기 위해서는 회로정수를 고려하는 것이 바람직할 것으로 사료된다.

3. 광 전송시스템은 스위칭 순간에 유도되는 이상전압 및 유도잡음에 대한 내성이 강한 전송매체로 판명되었다. 그러므로 EV 및 ROV와 같은 전자파간섭이 집중되는 곳의 구동신호 전송시스템으로 적합할 것으로 생각한다.

본 연구결과를 산업용은 물론 EV 및 ROV 등에 활용하기 위해서는 검증실험 방법 및 회로정수 보상방법을 체계화하고, 광 전송시스템에 필요한 결합기술을 확보하며, 유도성 부하에 대한 인버터의 출력특성 및 회생제동에 관련된 연구가 요망된다.

참고문헌

- 1) 오진석, 김윤식, "하이브리드 RSPWM 인버터의 설계 및 특성해석에 관한 연구", 한국박용기관학회지,

Vol. 19, No. 1, 1995

- 2) K. E. Addoweesh, W. Shepherd and L. N. Hulley, "Induction Motor Speed Control Using a Microprocessor - Based PWM Inverter", IEEE Trans., Vol. 36, No. 4, p. 516~522, 1989.
- 3) C. C. Chan and W. C. Lo, "Control Strategy of PWM Inverter Drive System for Electric Vehicles", IEEE Trans., Vol IE - 34, No .4, 1987.
- 4) P. Enjeti and P. D. Ziogas, "New Current Control Scheme for PWM Inverter", IEE Proc., Vol. 135, No. 1, 1988.
- 5) S. Garcia - otero and M. Devaney, "Minimization of Acoustic Noise in Variable Speed Induction Motor Using a Modified PWM Drive", IEEE Trans., Vol. 30, No. 1, 1994.
- 6) P. N. Enjeti and P. D. Ziogas, "A New PWM Speed Control System for High - Performance AC Motor Drives", IEEE Trans., Vol. 37, No. 2, 1990.
- 7) 오진석, "PWM 인버터용 SNUBBER 설계", 한국 산업안전학회지, Vol. 8, No. 4, 1993.
- 8) J. Gowar, "Optical Communication Systems", Prentice - Hall, 1993.
- 9) 아키캐드, "신 C언어 수치해석", 크라운 출판사, 1992.